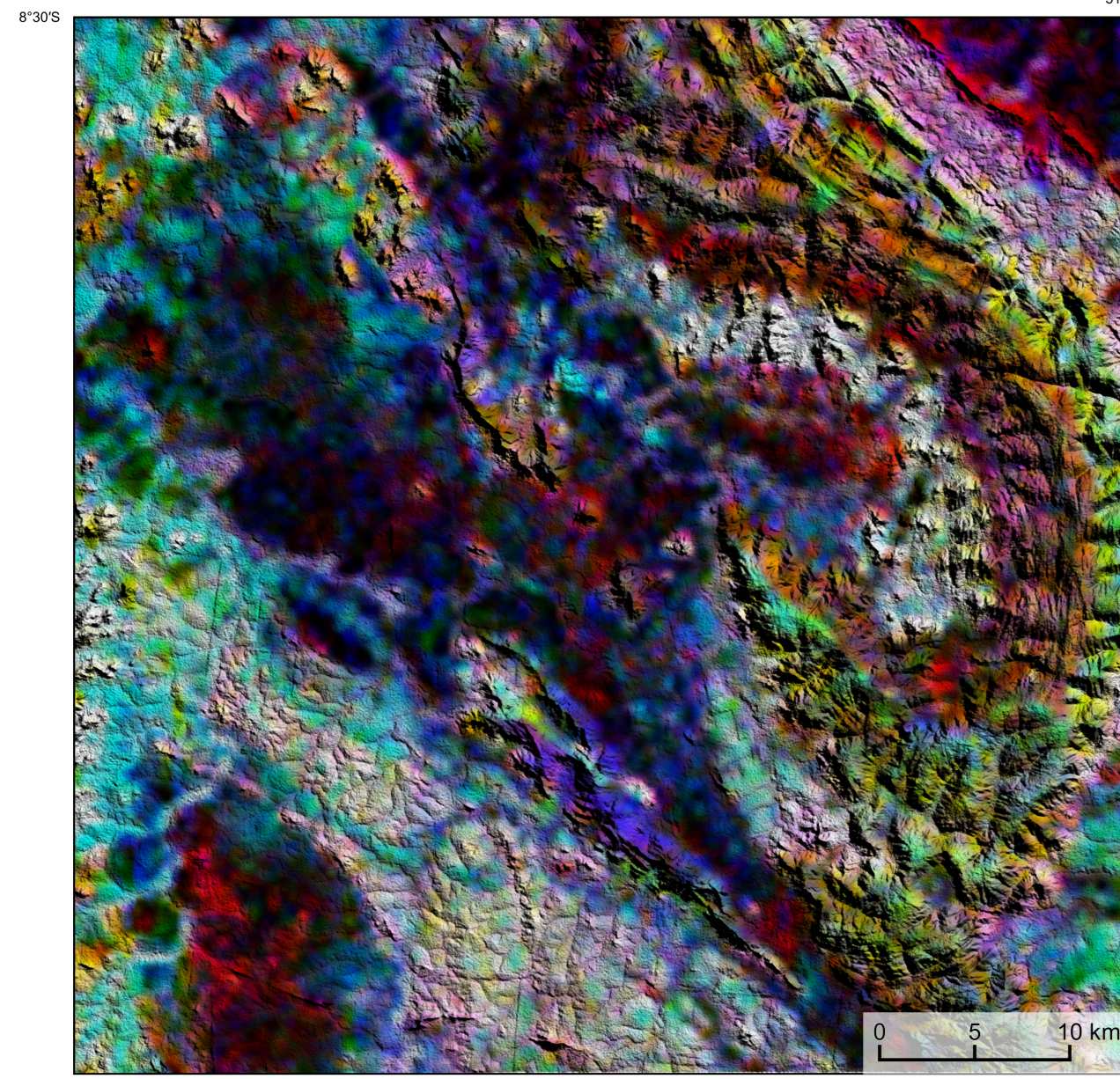
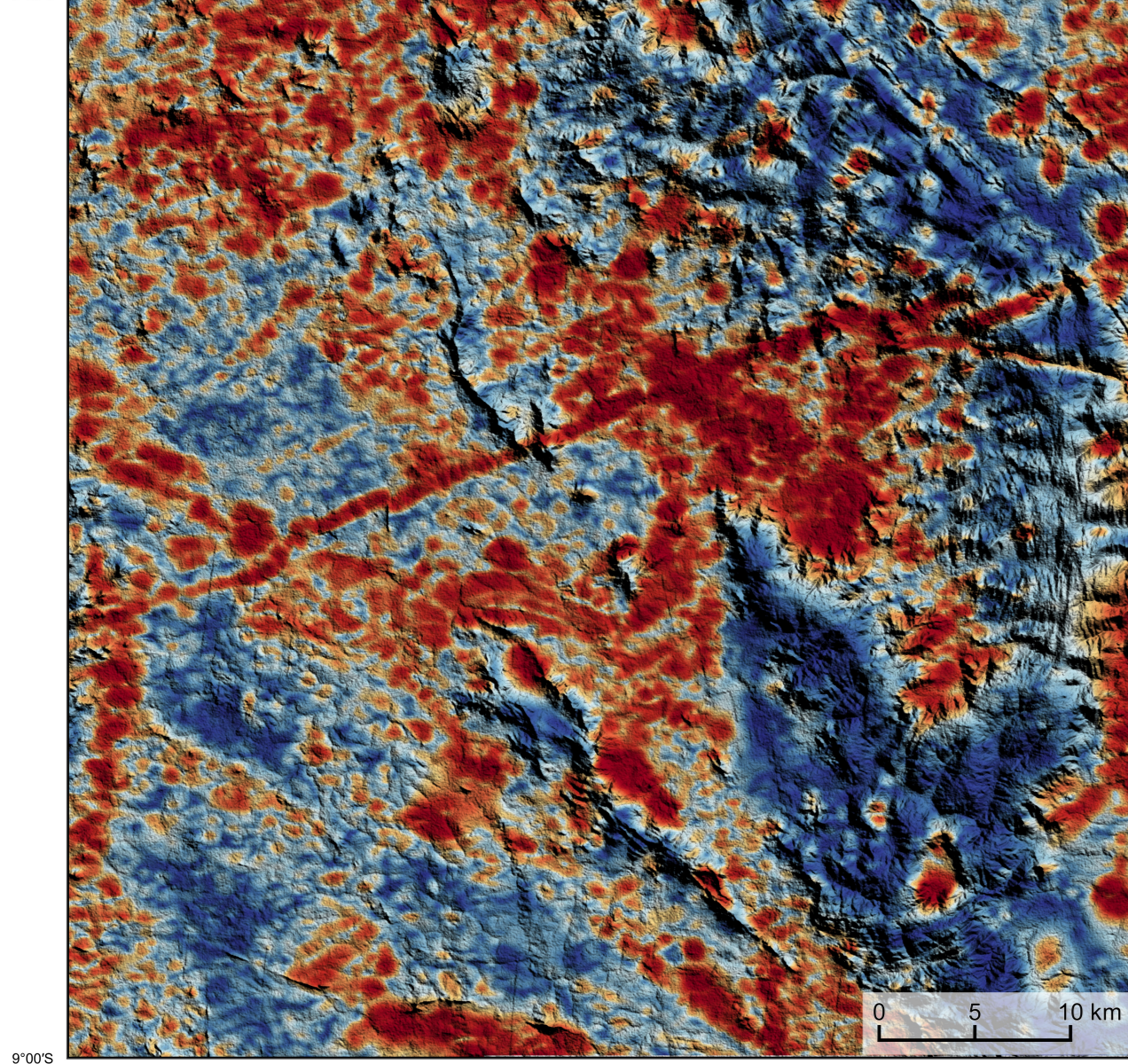


AEROGAMAESPETROMETRIA – IMAGEM DE COMPOSIÇÃO TERNÁRIA RGB (K-th-eu) COM FUSÃO SRTM



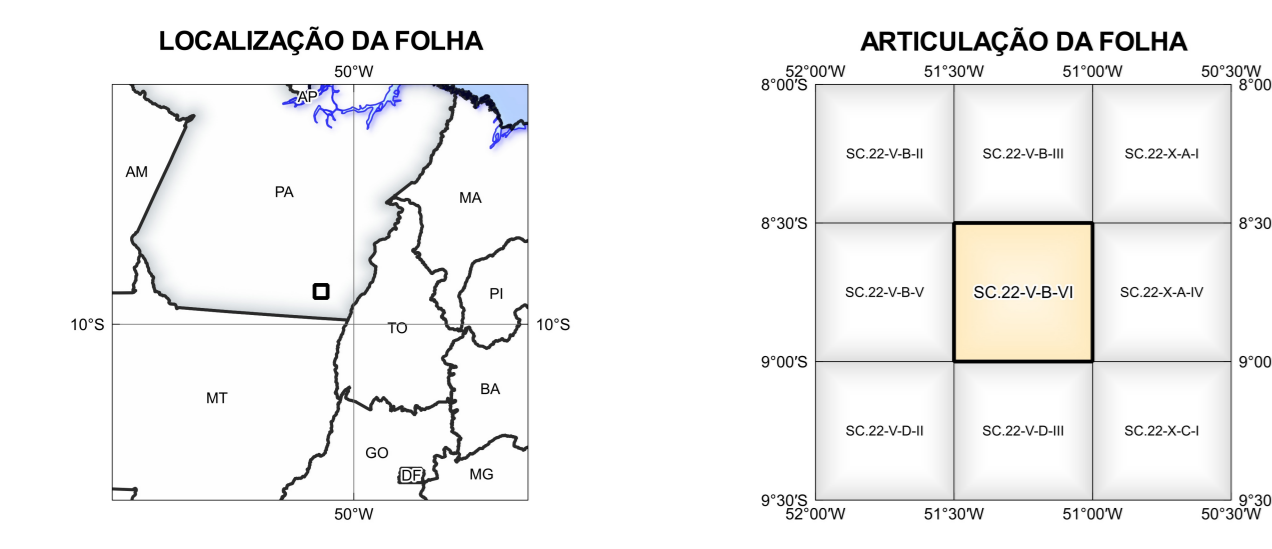
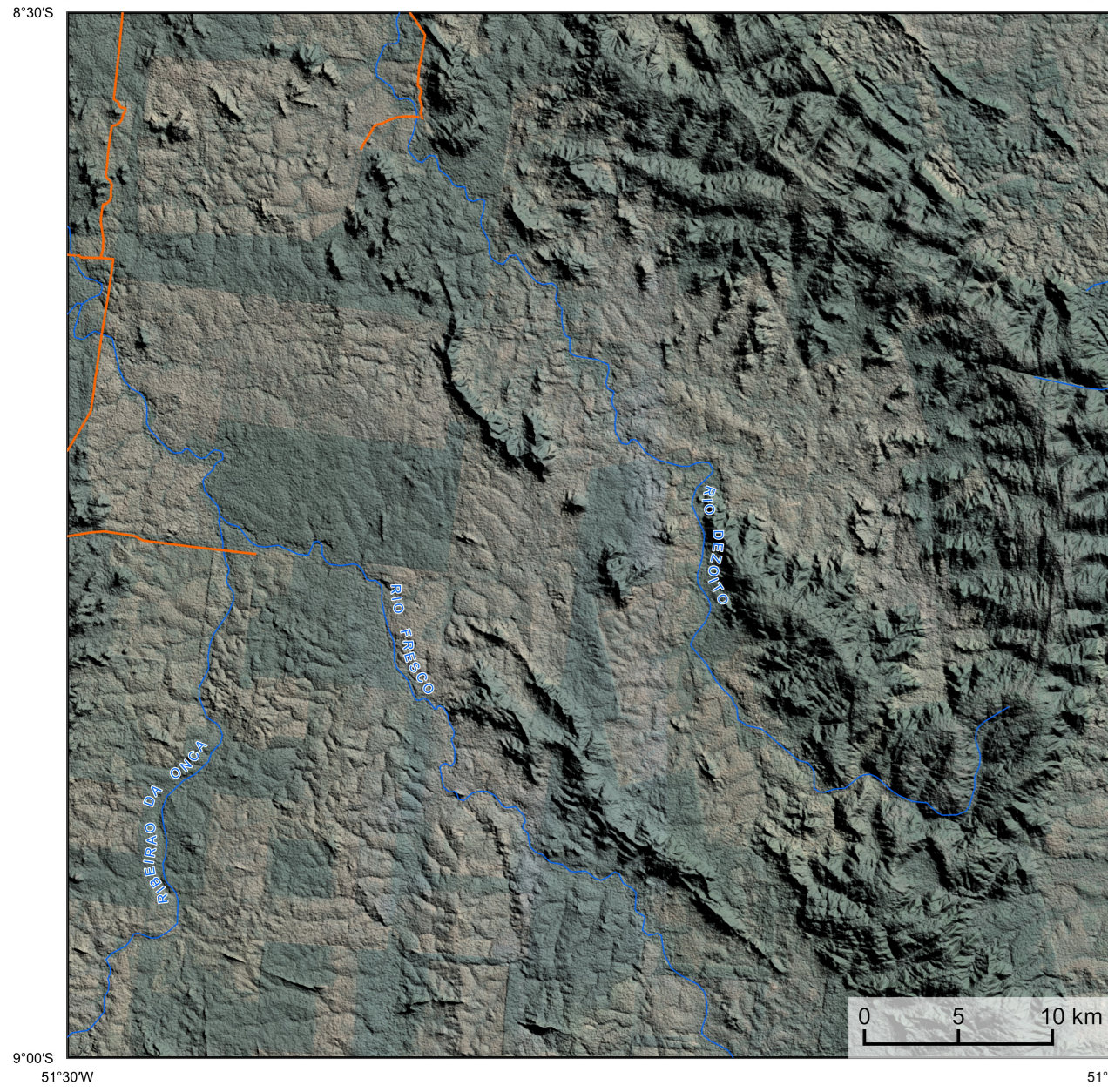
Mostra a variação das concentrações relativas dos três radioelementos relacionando-os com as cores vermelho (K-red), verde (Green) (Th) e azul (Blue) (Eu). O espectro de cores varia desde o branco, quando coincidente as máximas concentrações relativas nos três radioelementos, até o preto, para os mínimos valores relativos.

AEROMAGNETOMETRIA - PRODUTO E DECONVOLUÇÃO DE EULER COM FUSÃO SRTM

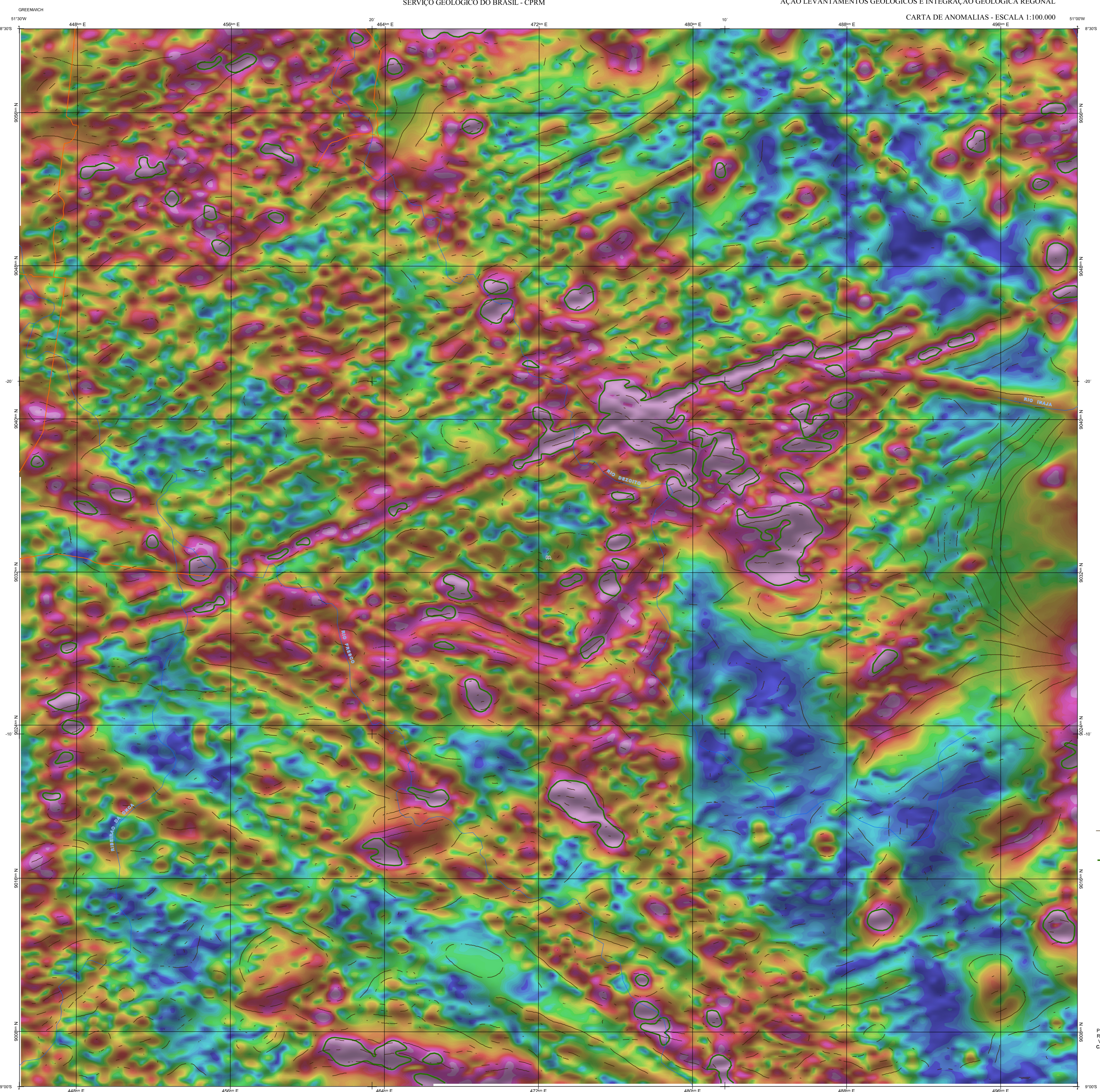


No mapa de gradiente total a anomalia magnetométrica é centralizada em relação ao corpo causativo, o caráter dipolar é suprimido, que simplifica a interpretação. Todavia, dimensões horizontais na anomalia em relação ao corpo causativo são extrapoladas. Recomenda-se a utilização deste produto para realçar a distribuição de rochas/minerais magnéticos na área, e também como forma de simplificar a interpretação dos usuários. A deconvolução Euler utiliza derivadas do campo magnético anômalo para estudar a geometria das fontes magnetométricas localizadas em subsuperfície. Neste trabalho foi empregado o índice 1 para a deconvolução de Euler com o intuito de realçar as estruturas lineares magnéticas da área.

MODELO DIGITAL DO TERRENO E BASE CARTOGRÁFICA COM A IDENTIFICAÇÃO DAS ESTAÇÕES GEOQUÍMICAS DE SEDIMENTOS DE CORRENTE



FOLHA SC.22-V-B-VI



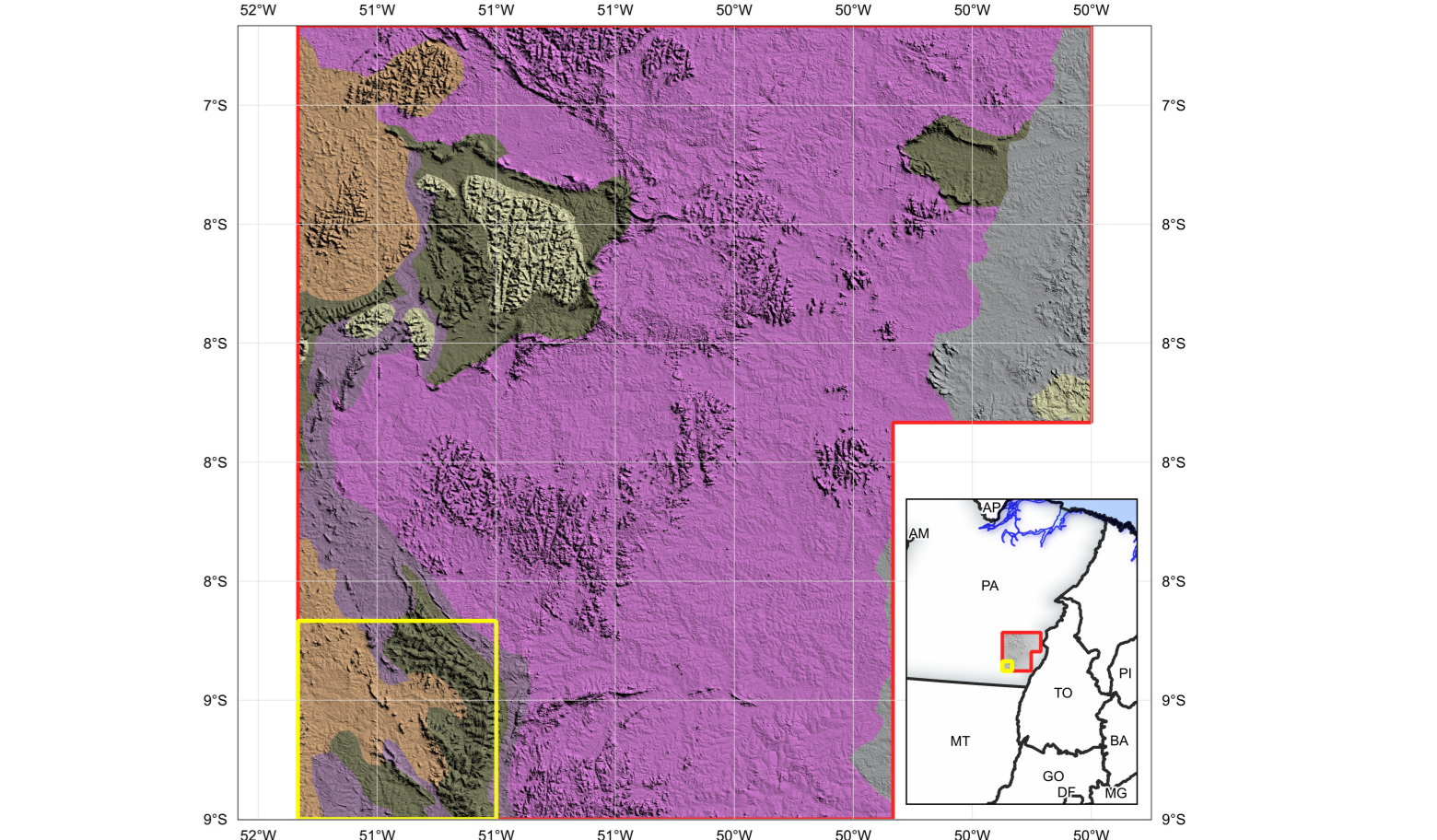
NOTA TÉCNICA

Com o objetivo subsidiar de informações geocientíficas as iniciativas e projetos de pesquisa mineral do setor privado, o Serviço Geológico do Brasil-CPRM disponibiliza diversos produtos que visam auxiliar na definição de áreas potenciais para novas descobertas. Este novo produto denominado 'carta de anomalias' é apresentado para diversas áreas de território brasileiro que incluem províncias minerais consolidadas ou em consolidação. A 'carta de anomalias' é suportada por um banco de dados de imagens geofísicas, geológicas, geocímicas e de recursos minerais, disponibilizado no site do Serviço Geológico do Brasil - CPRM.

O modelo com a melhor combinação de hiperparâmetros é utilizado para prever as litologias. Uma das limitações mais notáveis da metodologia é o aspecto granular do resultado, que ocorre devido à falta de informação espacial como dado de entrada para os modelos. Além disso, os alvos são selecionados aleatoriamente com base em mapas de baixa resolução (1:250k), fazendo com que os dados de treino, validação, e teste sejam altamente contaminados com vieses de interpretação.

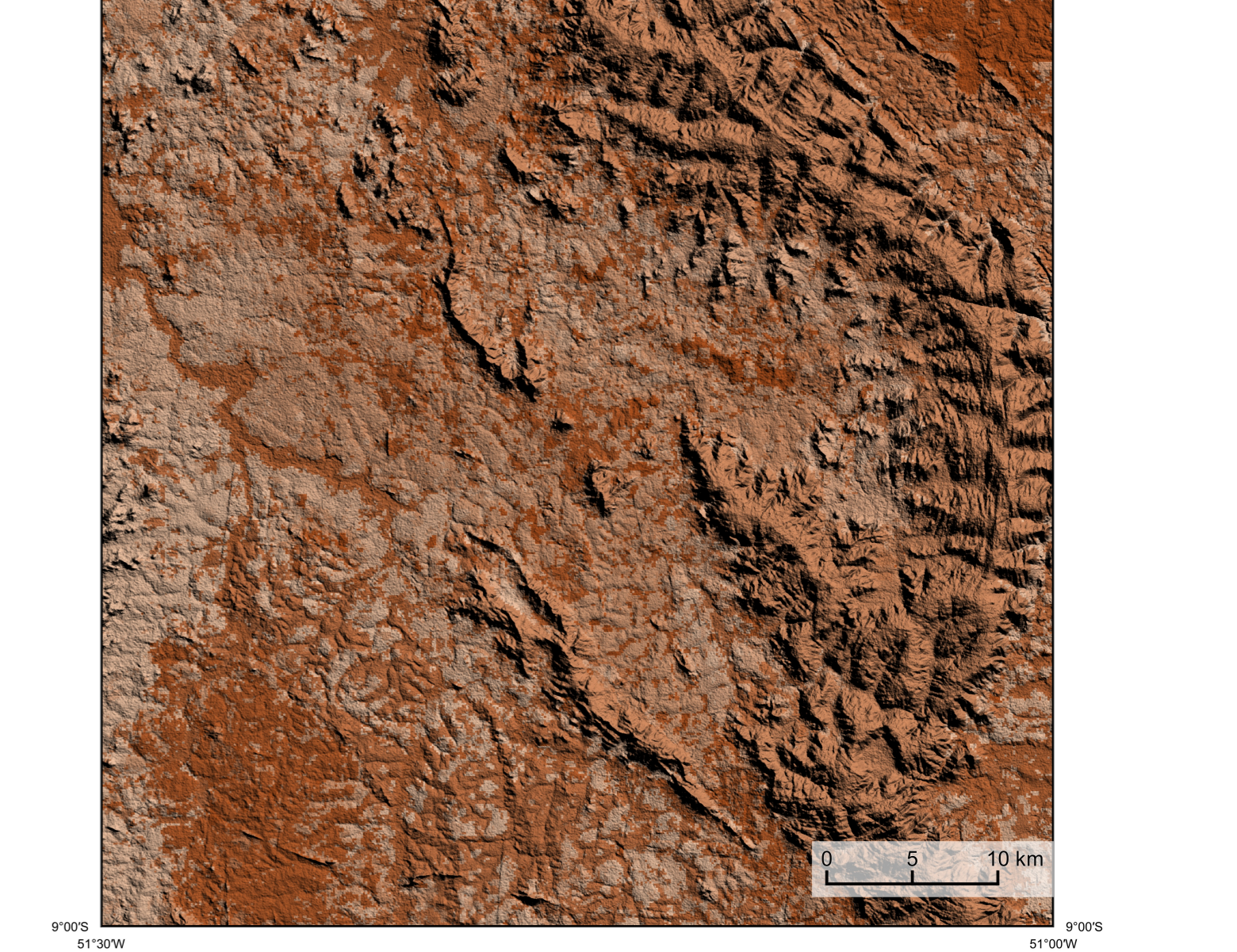
CHEN, T., & GUESTRIN, C., 2016. XGBoost: A Scalable Tree Boosting System. In Proceedings of the 22nd ACM SIGKDD International Conference on Knowledge Discovery and Data Mining (pp. 785-794). New York, NY, USA: ACM. https://doi.org/10.1145/2939972.2939785.

CARTA DE ANOMALIAS FOLHA SC.22-V-B-VI ESCALA 1:100.000 - 30/08/CPRM - 2021



Bacias Sedimentares e Coberturas Ferozoicas: Bacias sedimentares paleozóicas e mesozóicas e coberturas ímbricas e aluvionares cenozoicas. Cinturão Neoproterozoico: Cinturão Araguaia (CAR): Rochas metamórficas de 850 Ma e complexo mafico-ultramáfico de 760 Ma. Bacias Sedimentares Proterozoicas: Bacias Paleoproterozoicas < 2050 Ma.

ENCARTE GEOLÓGICO PREDITIVO



Legenda Geológica Preditiva: MP1qnc3, MP1qnc4, MP1qnc5, MP1qnc6, MP1qnc7, MP1qnc8, MP1qnc9, MP1qnc10, MP1qnc11, MP1qnc12, MP1qnc13, MP1qnc14, MP1qnc15, MP1qnc16, MP1qnc17, MP1qnc18, MP1qnc19, MP1qnc20, MP1qnc21, MP1qnc22, MP1qnc23, MP1qnc24, MP1qnc25, MP1qnc26, MP1qnc27, MP1qnc28, MP1qnc29, MP1qnc30, MP1qnc31, MP1qnc32, MP1qnc33, MP1qnc34, MP1qnc35, MP1qnc36, MP1qnc37, MP1qnc38, MP1qnc39, MP1qnc40, MP1qnc41, MP1qnc42, MP1qnc43, MP1qnc44, MP1qnc45, MP1qnc46, MP1qnc47, MP1qnc48, MP1qnc49, MP1qnc50, MP1qnc51, MP1qnc52, MP1qnc53, MP1qnc54, MP1qnc55, MP1qnc56, MP1qnc57, MP1qnc58, MP1qnc59, MP1qnc60, MP1qnc61, MP1qnc62, MP1qnc63, MP1qnc64, MP1qnc65, MP1qnc66, MP1qnc67, MP1qnc68, MP1qnc69, MP1qnc70, MP1qnc71, MP1qnc72, MP1qnc73, MP1qnc74, MP1qnc75, MP1qnc76, MP1qnc77, MP1qnc78, MP1qnc79, MP1qnc80, MP1qnc81, MP1qnc82, MP1qnc83, MP1qnc84, MP1qnc85, MP1qnc86, MP1qnc87, MP1qnc88, MP1qnc89, MP1qnc90, MP1qnc91, MP1qnc92, MP1qnc93, MP1qnc94, MP1qnc95, MP1qnc96, MP1qnc97, MP1qnc98, MP1qnc99, MP1qnc100.

Recursos Minerais

SEM RECURSOS MINERAIS CADASTRADOS

Geoquímica

SEM AQUISIÇÃO GEOQUÍMICA

Convenções Cartográficas: Drenagem, Rodovias. Linhas Geométricas: Linhas Magnéticas Automatizadas. Anomalias Geofísicas: Anomalia do Gradiente Total (nT x 2°).

CREDITOS DE AUTORIA: Luz Gustavo Rodrigues Pinto, Marcos Vinícius Ferreira, Vicente de Paulo Pinto, Rafael Cordeiro, Rafael Augusto de Pires Lima, Denilson de Jesus, Francisco de Paula da Silva e Lima Abreu, Wagner Carlos Torres, Daliane Bandeira Echeverri, Regina Célia dos Santos Silva. REFERENCIA BIBLIOGRAFICA: PINTO, L.G.R.; FERREIRA, M.F.; PINTO, V.P.; CORREIA, R.; LIMA, R.A.P.; JESUS, D.; ABREU, F.P.S.L.; FERRARI, V.C.; EISENHARDT, D.B.; CHAVES, C.L.; SILVA, R.C.S. CARTAS DE ANOMALIAS, São Paulo: Serviço Geológico do Brasil, SGB-CPRM, 2021. mapa colorido, Escala 1:100.000.

CARTA DE ANOMALIAS FOLHA SC.22-V-B-VI

ESCALA 1 / 100.000

PROJEÇÃO UNIVERSAL TRANSVERSA DE MERCATOR (UTM)

Origem da quilômetros UTM: Equador e Meridiano Central 51° W, Gr., Fuso: 22S, acréscimos às coordenadas: 10.000 km e 500 km, respectivamente. Datum horizontal: SIRGAS 2000

2021